

## 自動測定装置を用いた臨海工業地域（浮島地区）における炭化水素の連続測定調査

Continuous Determination of Hydrocarbons  
in Air at Industrial Area of Kawasaki  
City by Automatic Analyzer

高 橋 篤 Atsushi TAKAHASHI

### 1 緒 言

大気中の炭化水素は、化学的な見地からは鎖式炭化水素としてパラフィン系炭化水素、オレフィン系炭化水素、アセチレン系炭化水素が、環式炭化水素としては芳香族炭化水素、脂環族炭化水素などが存在する。この他、誘導体としてはアミノ基、水酸基、ハロゲン、酸素、等を含んだ化合物も存在する<sup>1)</sup>。これらの多種の炭化水素は人体にたいしては、それ自身による中毒や発癌性などの影響の他に、窒素酸化物との光化学反応により生ずる光化学大気汚染による影響もある。以上のような大気中の汚染質としての炭化水素の調査は非メタン炭化水素計を別とすれば、従来より、真空補集瓶、あるいはバッグ内に大気を採取する方法<sup>2)</sup>で行なわれてきた。いずれにしても、これらの方では人力によりコック等を開いて大気を補集するのであるから、深夜あるいは長期におよぶ調査の場合には人手の負担が大きく、一地点でせいぜい数検体をとり、それらの測定値をその地点の代表値としているわけである。しかしながら大気中の炭化水素濃度はたえず変動しているため、どの値をもって代表値と決定するかは非常に困難だと考えられる。特に発生源近傍において濃度をみる場合には、濃度変動が非常に大きいため<sup>3)</sup>試料の数はできるだけ多いほうが望ましい。しかし従来の人手にたよる方法では試料数にはおのずと限界があり、そこに、試料の補集から分析、定量まで自動化した連続測定装置の存在意義が生まれてくる。一般に大気中の炭化水素は、石油関連工業、塗装業、自動車排ガス等<sup>4)</sup>多くの発生源から、多成分の炭化水素が発生しており<sup>5)</sup>、ひとくちに自動

分析といってても、その実用化はそれほど容易ではない。考え方としては<sup>6)</sup>吸着剤を用いて大気中の炭化水素を一定量吸引補集し、その後加熱追い出しで、ガスクロマトグラフへ導入し分析するという、最も常識的な手法を用いて、それらの行程をコンピューターで制御し、一定時間ごとに繰り返せばよい。<sup>7)</sup>当研究所では以上のような考え方をもとに、連続炭化水素測定装置を1982年に開発導入し、以来調査を進めてきたところである。

今回は、炭化水素の発生源の一つとして重要な石油関連工業が多く立地している、川崎市浮島地区に本装置を設置し、光化学大気汚染が発生しやすい夏期に、のべ10日間にわたり連続測定調査を行なったところ、エチレンを始めいくつかの炭化水素について特徴ある濃度推移をみつけることができたので報告する。

### 2 調査方法

#### 2.1 調査地点

川崎市川崎区浮島町4-1

#### 2.2 調査期間

1986年7月30日-8月9日

#### 2.3 測定方法

##### 1) 概 要

この装置は大気中の炭化水素を濃縮装置（AGA-100×2台）により一定量吸引補集し、加熱追い出した炭化水素をガスクロマトグラフ（GC-9A×2台）により分析、定量する。この一連の行程をデータ処理装置（CR2AX）で時間制御

し、30分に1回繰り返し連続自動分析する。

## 2) 仕 様

### 2-1) 測定成分

ガスクロ#1 C2-C5 脂肪族炭化水素

ガスクロ#2 C6-C8 芳香族炭化水素

### 2-2) 分析方法

カラム：ガスクロ#1，活性アルミナ60/80

メッシュ， $3\phi \times 2\text{m}$

ガスクロ#2，シンクロムF51+ベン

トン34（6+4%），シマライトDM

CS80/100メッシュ， $3\phi \times 2\text{m}$

昇温条件：ガスクロ#1, 45°Cを1分間保持，7

°C/分で100°Cに昇温1分間保持，40

°C/分で220°Cに昇温2分間保持。

ガスクロ#2, 50°Cを4分間保持，6

°C/分で80°Cに昇温2分間保持，10°C

/分で100°Cに昇温3分間保持。

### 2-3) 試料濃縮方法

濃縮装置#1：吸着剤，活性アルミナ（60/80  
メッシュ） $2\phi \times 2\text{cm}$ 及びカーボンモリキュラ  
シープ $3\phi \times 4\text{cm}$ 。吸着温度，電子クーラーによる  
低温吸着，0°C以下，濃縮量，200ml。マスフ  
ローントロールバルブにより毎分100mlに制  
御。ポンプによる吸引圧力，-350mmHg一定。  
脱着温度，250°C。バージ，窒素ガスによる濃縮

バージ機構付。濃縮装置#2：吸着剤，アドソル  
ブP-1（60/80メッシュ）， $3\phi \times 1.5\text{cm}$ 。  
吸着温度，室温。脱着温度，180°C。濃縮量，500  
ml。井下#1と同じ。

2-4) データ処理装置：島津CR2A(X)，

2チャンネルモジュールINP-RA，カレン  
トループ，デジタルI/O付。

### 3) 動作方法

CR2Aのベーシックプログラムが時間を管理  
し，毎0時と30分になると，GC9AとCR2  
Aのスタートを命令する。CR2Aはスタートと  
同時にタイムプログラムが進行し濃縮装置のコ  
ントロールをデジタルI/Oを通して行う。GC9  
Aもスタートと同時に昇温プログラムとタイム普  
ログラムが進行し，タイムプログラムのEVENT  
出力により濃縮装置の試料導入バルブをコントロ  
ールする。

## 3 結 果

調査結果の概要を表1および図1に示す。なお  
最低濃度は各炭化水素とも定量限界以下（0.2  
ppb）であった。またエチレン，iペントン，トル  
エンの全測定期間中の濃度推移を図2から4に  
示す。

表1 測定結果の概要

成 分 名	平均 値	最 大 値	測 定 回 数
エ タ ネ	6.4	260	447
エ チ レ ン	16.4	1436	447
ブ ロ パ ン	15.7	904	447
ブ ロ ビ レ ン	4.0	185	446
i ブ タ ネ	6.2	423	444
n ブ タ ネ	10.2	906	445
ア セ チ レ ン	0.6	145	445
i ペ ン タ ネ	13.3	760	446
n ペ ン タ ネ	7.7	453	445
ベ ン ゼ ン	5.6	109	454
ト ル エ ン	7.5	75.6	455
e ペ ン ゼ ン	1.1	10.7	455
p キ シ レ ン	0.5	7.8	448
m キ シ レ ン	1.8	25.1	449
o キ シ レ ン	1.0	12.0	455

注) 単位 ppb

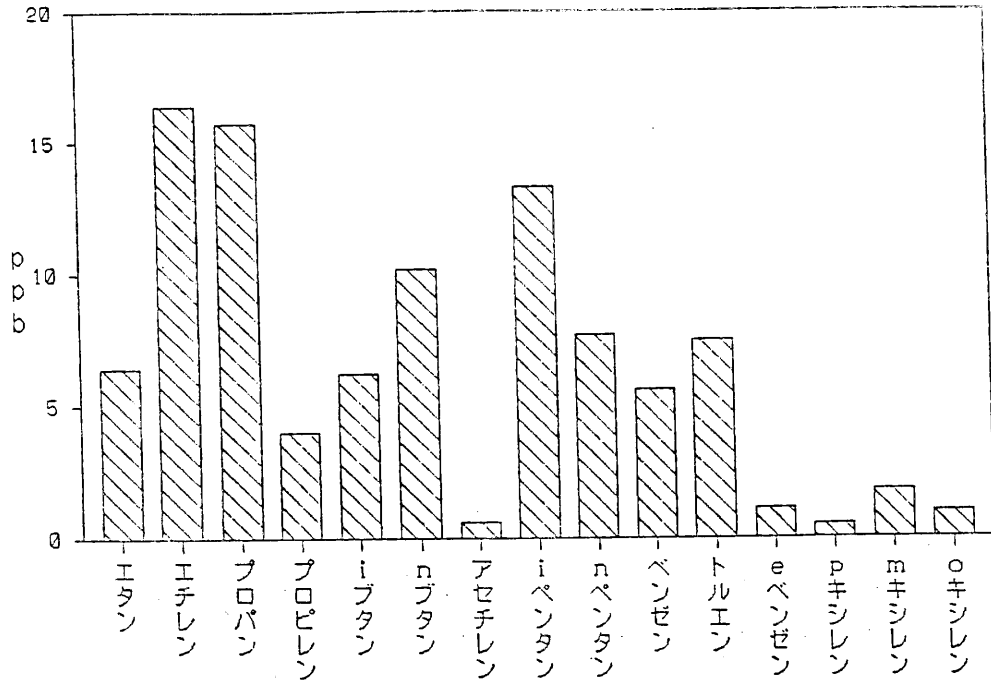


図 1 浮島の平均炭化水素濃度

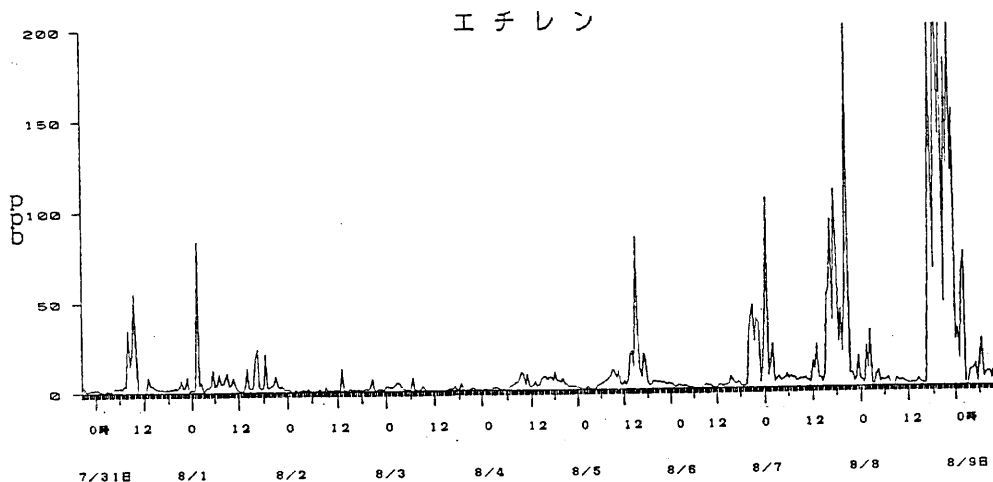


図 2 全測定期間中の炭化水素濃度変化

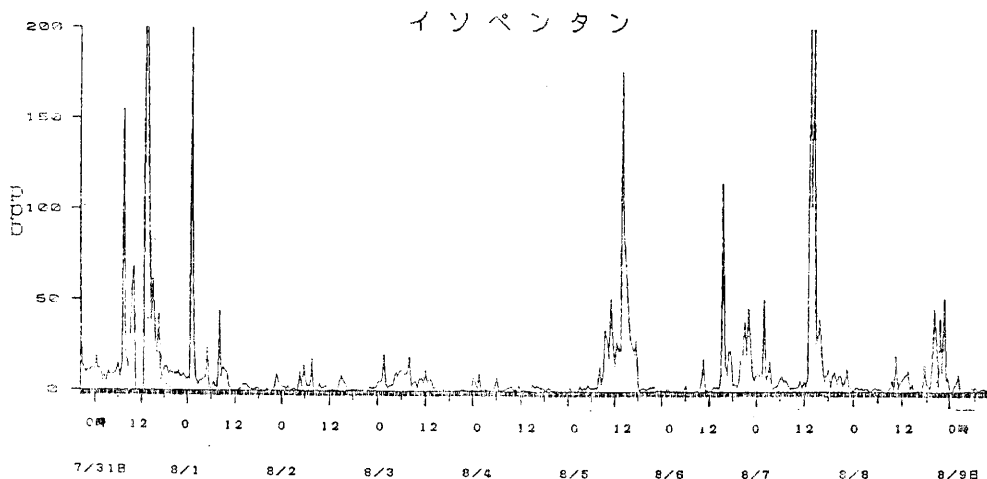


図3 全測定期間中の炭化水素濃度変化

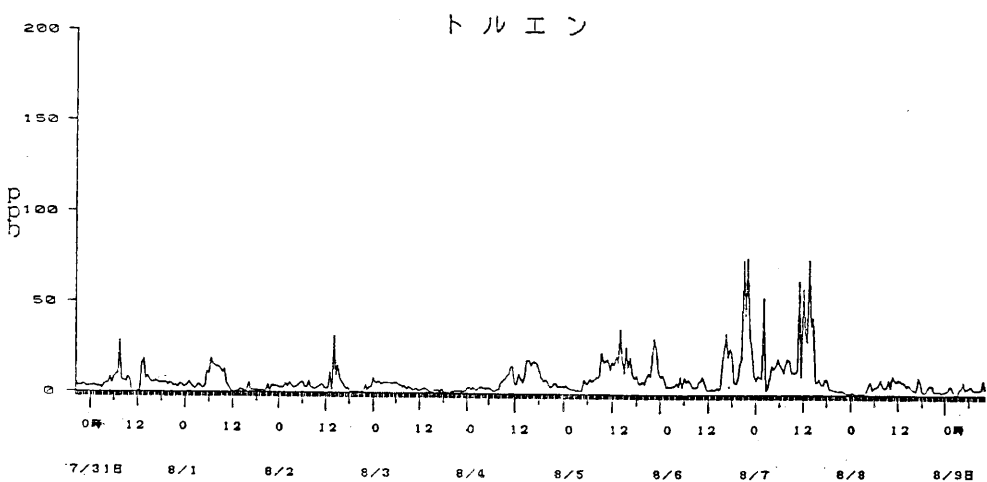


図4 全測定期間中の炭化水素濃度変化

## 4 考 察

### 4.1 成分別平均濃度の特徴

表1および図1に示したように平均濃度はエチレンが最も高く、次いでプロパン、iペントン、nブタンの順で、いずれも10 ppb以上を示しており、以上の4成分だけで全成分の合計の50%以上を示していた。また期間最高濃度も1位はエチレンの1436 ppb(8月7日20時30分)、2位はnブタンの906 ppb(8月1日1時)、3位はプロパンの904 ppb(同)、4位はiペントンの760 ppb(8月7日14時30分)と同じような成分が占めていた。いずれにしても、これらの高濃度成分は石油関連工業を主としている調査地区の産業形態を反映している<sup>8)</sup>と考えられる。

### 4.2 濃度推移の特徴

図2に示すとおり100 ppb以上の高濃度を記録した回数はエチレンが最も多く14回あり、それらはすべて17時30分から23時30分の夕刻から夜間に記録されている。次はiペントン(図3)の10回で、うち8回は13時から14時30分の間の昼間に記録されている。プロパンは100 ppb以上を9回記録しており、そのうち7回は18時30分から1時の夜間に記録されている。次はnブタンの7回であり、うち4回は夜間に、2回は13時から14時の間に記録されている。トルエンは100 ppb以上

の高濃度ではなく最高値でも75.6 ppbであるが、芳香族では最も高濃度であり、近傍に発生源のない場合の一般的な濃度推移を示しているといえよう(図4)。以上まとめると、ガソリン蒸発成分に由来すると推察されるiペントンは昼間に、石油化学プラントに由来すると考えられるエチレンは夜間にそれぞれ高濃度を示す傾向がうかがえる。

### 4.3 炭化水素成分分布の特徴

iペントンが期間最高濃度を記録した8月7日(木)14時30分における炭化水素15成分の分布状況を図5に示す。ベンタノン類とブタン類が高濃度であり、ガソリン蒸発成分と類似している。<sup>9)</sup>したがってガソリン出荷施設あるいは貯蔵施設の影響を考えられる。エチレンが最高濃度を記録した8月7日20時30分の成分分布(図6)では、エチレンのみ極端に高濃度でありエチレンプラントの影響と考えられる。エタン、プロパン、nブタンが最高濃度を記録した8月1日(金)1時の成分分布は(図7)、これらの成分の他にベンタノン類も高濃度であり、種類の異なる複数の発生源の影響を受けたと考えられる。プロパンが高濃度を示した7月30日(水)22時の成分分布(図8)ではプロパンのみ高濃度であり、このような成分分布は何回か記録されており、プロパン単独の発生源の存在が考えられる。

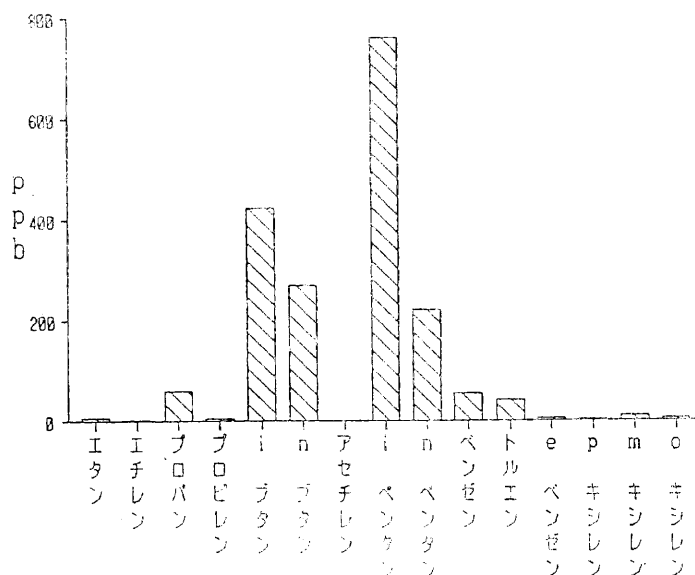


図5 8月7日、14時30分の炭化水素成分分布

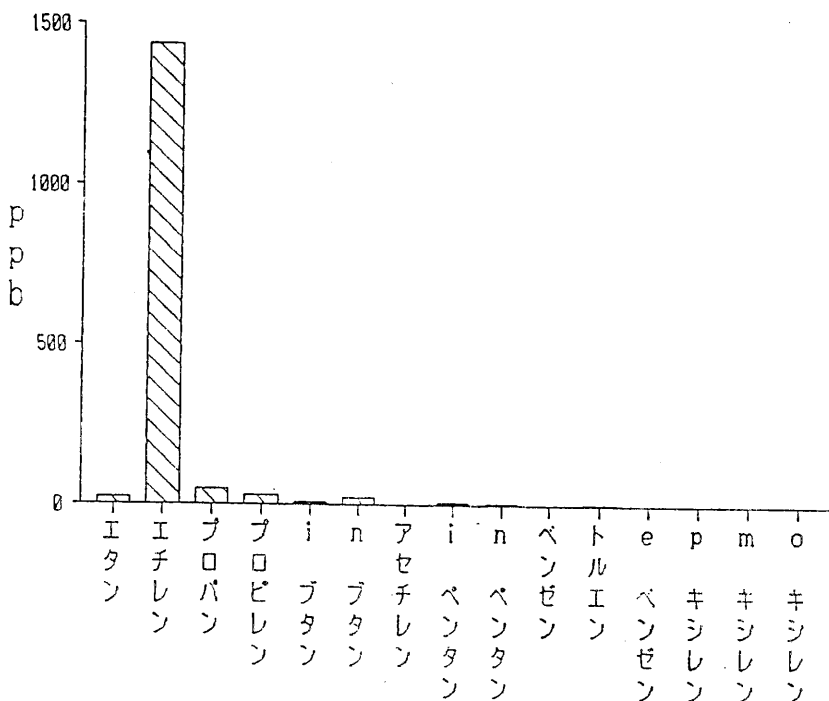


図 6 8月7日，20時30分の炭化水素成分分布

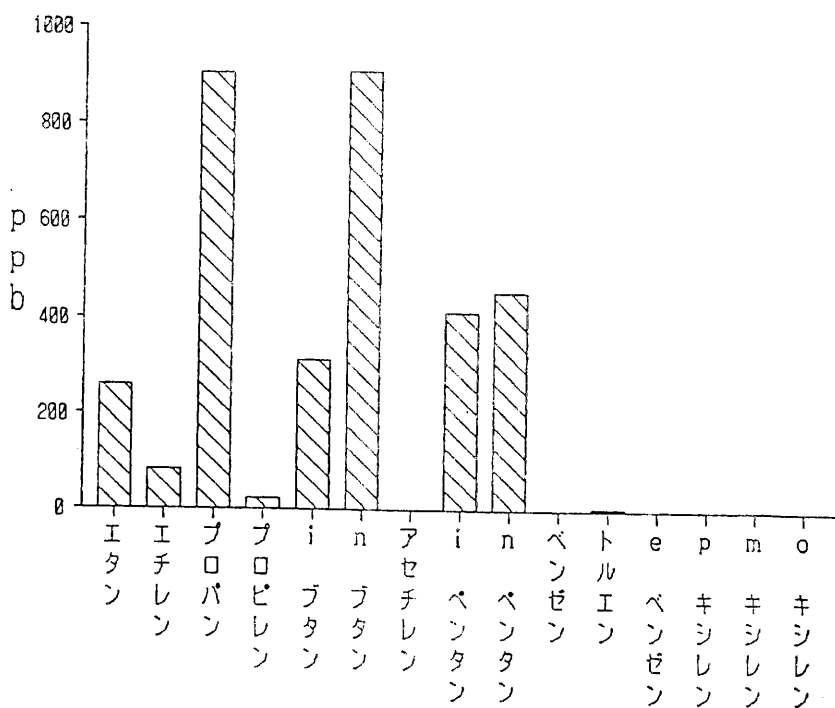


図 7 8月1日，1時の炭化水素成分分布

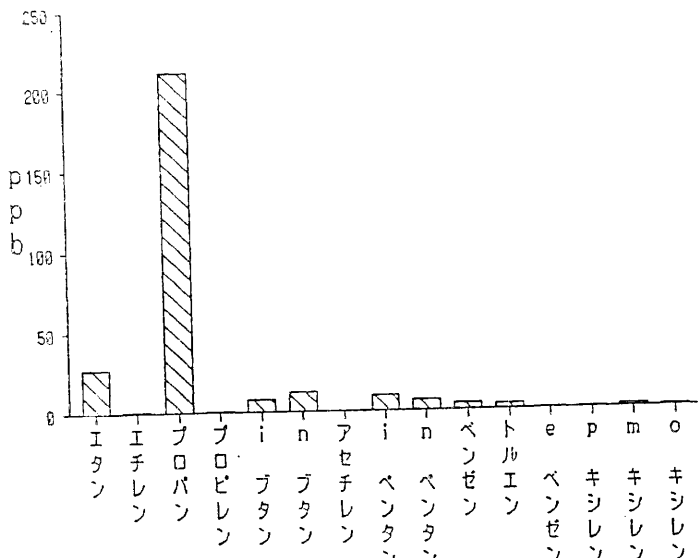


図 8 7月30日、22時の炭化水素成分分布

## 文 献

- 1) 藤井 徹：炭化水素測定の意義、大気汚染研究（第17回大気汚染協議会大会、特別講演シンポジウム抄録集），9（1976）
- 2) 井上香織、岡憲司、田口圭介、田島伸子、辻野喜夫、西川嘉範、畠中弘、吉村健一郎：堺・臨海コンビナート周辺の低沸点炭化水素濃度、大気汚染研究，10(3), 35-48 (1975)
- 3) 横浜市公害研究所：横浜市公害対策局：大気中の炭化水素濃度および各種発生源施設からの排出実態調査、5（1979）
- 4) 中央公害対策審議会大気部会、炭化水素に係わる環境基準専門委員会：大気汚染研究，12, 32-36 (1977)
- 5) 辻野喜夫：大気中の炭化水素分（II）「複合型大気汚染」の被汚染地域における汚染構造、大気汚染研究，14(6), 1-8 (1979)
- 6) 加藤龍夫、山下暁：大気要素の自動分析化に関する基礎的研究、横浜国立大学環境科学研究中心紀要, 7, 3-10 (1981)
- 7) 花井義道、加藤龍夫：大気中低級炭化水素の自動分析法の確立、横浜国立大学環境科学研究中心紀要, 8, 57-62 (1982)
- 8) 神奈川県臨海地区大気汚染調査協議会：京浜工業地帯における炭化水素類の汚染分布調査、神奈川県臨海地区大気汚染調査報告書（昭和56年度），15-22 (1981)
- 9) 横浜市公害研究所：南関東地域における光化学大気汚染に関する総合調査報告書，154 (1983)